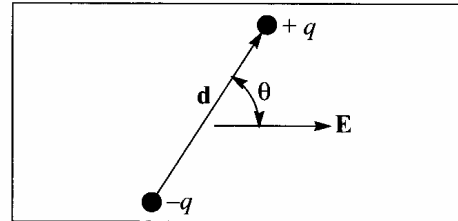


PROBLEMAS DO CAPÍTULO 11

1. Seja C uma curva plana fechada orientada. A *área orientada* S associada a C é definida como um vetor perpendicular ao plano de C , de magnitude igual à área S contida dentro de C e sentido tal que, vista da extremidade de S , C é descrita em sentido anti-horário (a) Interprete $\mathbf{a} \times \mathbf{b}$ em termos de S . (b) Demonstre que, se orientarmos os contornos das quatro faces de um tetraedro de tal forma que o sentido de S para cada face seja sempre o da normal externa (apontando para fora do tetraedro), a resultante das áreas orientadas associadas às quatro faces é nula.

2. Um dipolo elétrico é um par de cargas iguais e opostas, $+q$ e $-q$, separadas por uma distância d . O *momento de dipolo elétrico* \mathbf{p} associado ao dipolo é o vetor $\mathbf{p} = q\mathbf{d}$ onde $|\mathbf{d}| = d$ e \mathbf{d} aponta de $-q$ para $+q$ (Fig.). Considere um dipolo elétrico situado num campo elétrico \mathbf{E} uniforme.



- (a) Mostre que a resultante das forças elétricas aplicadas ao dipolo é nula, mas que o torque resultante é dado por $\boldsymbol{\tau} = \mathbf{p} \times \mathbf{E}$ (em relação a qualquer ponto).
- (b) Mostre que a energia potencial do dipolo no campo (Seç. 7.5) é dada por $U = -\mathbf{p} \cdot \mathbf{E}$. Identifique as situações de equilíbrio estável e instável do dipolo no campo.
3. Considere um sistema isolado de duas partículas de massas m_1 e m_2 . Exprima o vetor momento angular total do sistema relativo ao seu CM em função da massa reduzida μ , do vetor de posição \mathbf{r} de m_2 em relação a m_1 e da velocidade relativa \mathbf{v} de m_2 em relação a m_1 .
4. Dois patinadores de massa 60 kg, deslizando sobre uma pista de gelo com atrito desprezível, aproximam-se um do outro com velocidades iguais e opostas de 5m/s, segundo retas paralelas, separadas por uma distância de 1,40m (a) Calcule o vetor momento angular do sistema e mostre que é o mesmo em relação a qualquer ponto e se conserva (b) Quando os patinadores chegam a 1,40m um do outro, estendem os braços e dão-se as mãos, passando a girar em torno do CM comum. Calcule a velocidade angular de rotação.
5. No modelo de Bohr do átomo de hidrogênio, o elétron, de carga $-e$ ($e = 1,60 \times 10^{-19}$ C) e massa $m = 9,11 \times 10^{-31}$ kg, descreve órbitas circulares em torno do próton, de carga e e massa $1,840 m$. Com muita boa aproximação, podemos tratar o próton como um centro de forças fixo, identificado com o CM do sistema. A única força que atua é a atração coulombiana. A hipótese básica de Bohr foi que a magnitude l do momento angular do elétron não pode assumir valores arbitrários, mas tão somente os valores "quantizados"

$$l_n = n\hbar (n = 1, 2, 3, \dots) \quad \text{onde} \quad \hbar = 1,05 \times 10^{-34} \text{ Js}$$

- (a) Calcule o raio de Bohr r_1 da órbita com $n = 1$, e expresse o raio r_n da órbita associada com l_n em função de r_1 . (b) Calcule, em eV, a energia E_1 da órbita com $n = 1$, e expresse E_n em função de E_1 . (c) Calcule a razão v_1/c da velocidade do elétron na órbita com $n = 1$ para a velocidade da luz c .

6. Considere o movimento de uma partícula de massa m num campo de forças centrais associado à energia potencial $U(r)$, onde r é a distância da partícula ao centro de forças O . Neste movimento, a magnitude $l = ||\mathbf{l}||$ do momento angular da partícula em relação a O se conserva (Seç. 11.4). Sejam (r, θ) as componentes em coordenadas polares do vetor de posição \mathbf{r} da partícula em relação à origem O . (a) Mostre que as componentes em coordenadas polares do vetor velocidade \mathbf{v} da partícula são $v_r = dr/dt$, a *velocidade radial*, e $v_\theta = r d\theta/dt$, a *componente transversal da velocidade*. Mostre que $l = m r v_\theta$ (b) Mostre que a energia total E da partícula é dada por

$$E = \frac{1}{2} m v_r^2 + V_{ef}(r)$$

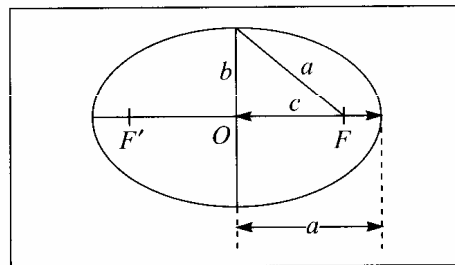
onde

$$V_{ef}(r) = U(r) + \frac{l^2}{2mr^2}$$

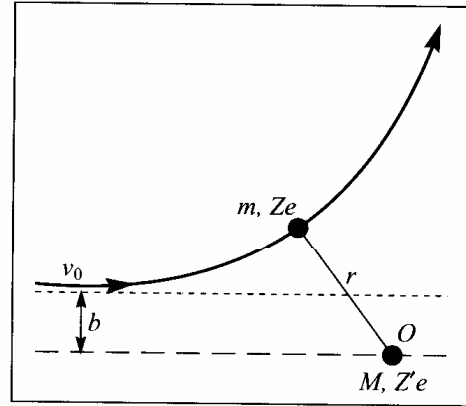
chama-se o *potencial efetivo* para movimento na direção radial ($0 < r < \infty$). O termo $l^2/(2m r^2)$ associado à energia cinética de rotação da partícula em torno do centro, é chamado de “potencial centrífugo”. Como E e l se conservam, o problema se reduz ao do “movimento unidimensional” na direção radial, na presença do potencial efetivo $V_{ef}(r)$. (c) Esboce o gráfico de $V_{ef}(r)$ quando $U(r)$ corresponde à atração gravitacional entre a partícula de massa m e outra de massa $M \gg m$, que pode ser tratada como centro de forças fixo em O .

7. Usando os resultados do Problema 6 e por analogia com a discussão do movimento unidimensional com energia E dada num potencial (Seç. 6.5), (a) Calcule, para o sistema de duas partículas em interação gravitacional do Probl. 6 (c), a distância r_0 associada ao mínimo de $V_{ef}(r)$ e a energia E_0 correspondente. Mostre que r_0 é o raio da órbita circular da partícula em torno do centro de forças, associada à energia total E_0 . (b) Mostre que, para $0 > E > E_0$, a distância r ao centro de forças oscila entre dois valores r_p e r_a . Estes valores correspondem ao periélio e ao afélio da órbita elíptica de energia E . Calcule o semi-eixo maior a dessa órbita elíptica e mostre que E só depende de a (veja Figs. 10.13 e 10.14). Calcule a velocidade da partícula numa órbita elíptica de semi-eixo maior a , quando se encontra à distância r do centro de forças. (d) Calcule a excentricidade e da órbita (pg. 194) em função de a , E e do momento angular l .

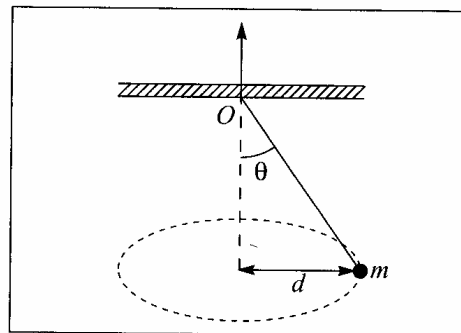
8. Pela geometria da elipse (veja a Fig.), os semi-eixos maior a e menor b e a semi-distância focal c estão relacionados por: $a^2 = b^2 + c^2$, e a área da elipse é $\pi a b$. (a) Exprima o momento angular l de um planeta numa órbita elíptica em torno do Sol em função da área A e do período T da órbita, usando a 2.^a lei de Kepler. (b) Identificando a expressão de l obtida em (a) com a relação entre l , a e a excentricidade da órbita obtida no Probl. 7, demonstre a 3.^a lei de Kepler sob a forma: $T^2/a^3 = 4\pi^2 / (GM_s)$, onde M_s é a massa do Sol. (c) O periélio e o afélio de Mercúrio são, respectivamente, de $4,59 \times 10^7$ km e $6,97 \times 10^7$ km, e a massa do Sol é $M_s \approx 1,99 \times 10^{30}$ kg. Calcule o período da órbita de Mercúrio.



9. O espalhamento Rutherford é a deflexão de uma partícula carregada (massa m , carga Ze) por outra (massa M , carga $Z'e$), sob ação da força coulombiana. Supomos $M \gg m$, de modo que a partícula de massa M pode ser tratada como um centro de forças fixo. Para Z e Z' de mesmo sinal (ex.: partículas alfa defletidas por um núcleo) e sendo a partícula de massa m lançada a partir de uma grande distância da outra, com velocidade inicial v_0 e parâmetro de choque b (Seç. 9.6), a órbita de m é uma hipérbole do tipo ilustrado na Fig. ao lado. (a) Escreva o potencial efetivo $V_{ef}(r)$ (cf. Probl. 6) em função de b e v_0 . (b) Calcule a distância r_0 de máxima aproximação entre as duas partículas, como função de b e v_0 .



10. Uma partícula de massa m move-se num campo de forças centrais repulsivo; a força sobre a partícula à distância r do centro tem magnitude $F(r) = mA^2/r^3$ onde A é uma constante. A partícula aproxima-se do centro vindo de uma grande distância, com parâmetro de choque b e velocidade de magnitude v_0 . (a) Escreva o potencial efetivo $V_{ef}(r)$ em função de b e v_0 . (b) Calcule a distância r_0 de maior aproximação entre a partícula e o centro de forças como função de b e v_0 .
11. Um automóvel de massa M percorre, em sentido anti-horário, uma pista circular horizontal de raio R , com velocidade escalar v constante. Conforme será visto no Cap. 12, o momento angular de uma das rodas do carro em relação ao centro de massa da roda é dado por $\mathbf{L}' = I\boldsymbol{\omega}$, onde $\boldsymbol{\omega}$ é a velocidade angular da roda e I é o seu momento de inércia em relação ao CM, que identificamos com o centro da roda. Determine, em módulo, direção e sentido, os vetores momento angular interno, momento angular externo (orbital) e momento angular total da roda em função de M , R , v , I e do raio a da roda.
12. Uma bolinha presa a um fio de massa desprezível gira em torno de um eixo vertical com velocidade escalar constante, mantendo-se a uma distância $d = 0,5$ m do eixo; o ângulo θ é igual a 30° (veja Fig.). O fio passa sem atrito através de um orifício O numa placa, e é puxado lentamente para cima até que o ângulo θ passa a 60° . (a) Que comprimento do fio foi puxado? (b) De que fator variou a velocidade de rotação?



$$F_{1y} + F_{2y} - P = 0 \quad \left\{ \begin{array}{l} F_{1y} = P - F_{2y} = \frac{P}{2} \end{array} \right. \quad (12.8.8)$$

$$F_{1x} + F_{2x} = 0 \quad \left\{ \begin{array}{l} F_{1x} = -F_{2x} = -\frac{P}{2} \cotg \alpha \end{array} \right. \quad (12.8.9)$$

pois $F_{2x}/F_{2y} = \cotg \alpha$. As (12.8.7) a (12.8.9) determinam todas as componentes de F_1 e F_2 .

A solução mostra que a linha de ação de F_1 aponta para o ponto D , intersecção com o fio da linha de ação da força-peso P (F_1 também forma um ângulo α com a horizontal). Poderíamos ter previsto este resultado, pois F_1 , F_2 e P são vetores deslizantes e devem ter resultante nula, formando portanto um "polígono de forças" fechado; no caso, é um triângulo isósceles, indicado em linha interrompida, com origem em G , na figura 12.49. O problema poderia ter sido resolvido graficamente, a partir destas considerações.

- 2) Consideremos um corpo pesado que se sustenta num plano horizontal, sobre vários pontos de apoio (como uma mesa). As reações nos pontos de apoio são todas verticais. É fácil ver, compondo-as duas a duas (pg. anterior), que a resultante R dessas forças paralelas está aplicada num ponto O interno ao "polígono de sustentação" cujos vértices são os pontos de apoio (Fig. 12.50). Como R tem de equilibrar a força-peso, aplicada no centro de gravidade, a condição de equilíbrio é que a linha da ação da força-peso (vertical pelo centro de gravidade) passe por dentro do polígono de sustentação.

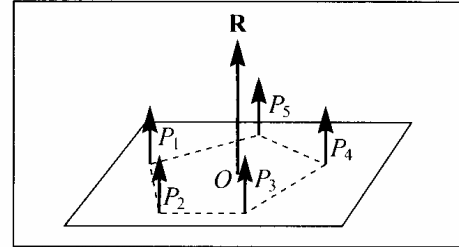


Figura 12.50 Polígono de sustentação.

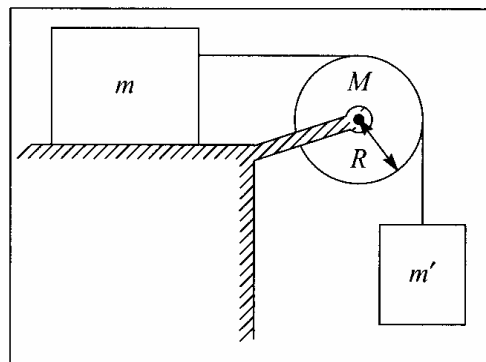
Se quisermos determinar as reações nos pontos de apoio, isto é fácil para 3 pontos de apoio, porque as (12.8.3) dão 3 equações escalares (verifique!), mas o problema se torna indeterminado para mais de 3 pontos de apoio, porque o número de incógnitas é superior ao número de equações (sabemos que bastam 3 pés para sustentar uma mesa). Analogamente, se o mastro do exemplo 1 for cimentado à parede no ponto A , o que permitiria sustentá-lo sem o auxílio do fio, torna-se impossível determinar a tração no fio a partir das equações de equilíbrio de um corpo rígido.

Problemas deste tipo chamam-se "estaticamente indeterminados", e a razão das dificuldades é a hipótese idealizada de que se trata de corpos rígidos. Na realidade, as reações são determinadas pelas deformações elásticas que se produzem nos pontos de apoio, e seria preciso conhecer as propriedades elásticas dos materiais para obter as forças de reação produzidas.

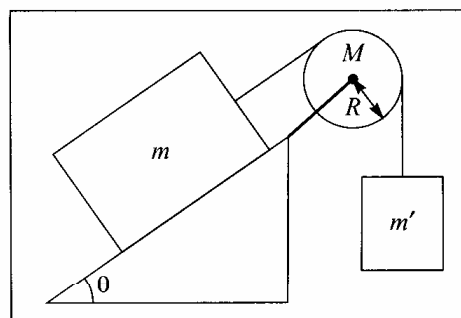
PROBLEMAS DO CAPÍTULO 12

1. Demonstre o seguinte *teorema dos eixos perpendiculares*: O momento de inércia de uma placa (lâmina delgada) plana de forma arbitrária em relação a um eixo Oz perpendicular a seu plano, com a origem O no plano da placa, é a soma dos momentos de inércia da placa em relação aos eixos Ox e Oy , que formam com Oz um sistema de eixos ortogonais.

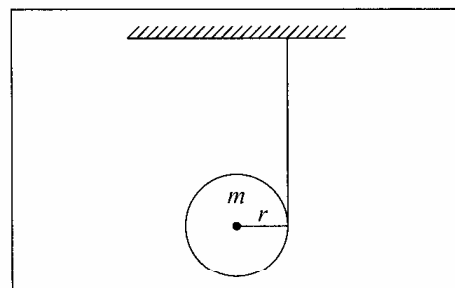
2. Como aplicação do teorema dos eixos perpendiculares (Probl.1), calcule: (a) O momento de inércia de uma placa retangular homogênea de massa M e lados a e b em relação a um eixo perpendicular a seu plano, que passa pelo centro da placa. (b) O momento de inércia de um disco circular de massa M e raio R , em torno de qualquer um seus diâmetros.
3. Calcule o momento do inércia de uma lâmina homogênea de massa M em forma de anel circular, de raio interno r_1 e raio externo r_2 , (a) Em relação a um eixo perpendicular ao plano do anel, passando pelo seu centro. (b) Em relação a um diâmetro do anel. Verifique o resultado, nos casos limites de um disco e de um aro circular.
4. Calcule o momento de inércia de um cubo homogêneo de massa M e aresta a , em relação a um diâmetro (eixo que passa pelos centros de duas faces opostas).
5. Calcule o momento de inércia de um cone circular reto homogêneo, de massa M e raio da base R , em relação ao eixo do cone. Sugestão: Considere o cone como uma pilha de discos circulares de alturas infinitésimas e raios decrescentes.
6. Uma porta de 15 kg e 70 cm de largura, suspensa por dobradiças bem azeitadas, está aberta de 90° , ou seja, com seu plano perpendicular ao plano do batente. Ela leva um empurrão na beirada aberta, com impacto equivalente ao de uma massa de 1 kg, com velocidade de 2,5 m/s. Quanto tempo ela leva para fechar-se?
7. Uma mesa de coquetel tem um tampo giratório, que é uma tábua circular de raio R e massa M , capaz de girar com atrito desprezível em torno do eixo vertical da mesa. Uma bala de massa $m \ll M$ e velocidade v , disparada por um convidado que abusou dos coquetéis, numa direção horizontal, vai-se encavar na periferia da tábua. (a) Qual é a velocidade angular de rotação adquirida pela tábua? (b) Que fração da energia cinética inicial é perdida no impacto?
8. Um alçapão quadrado, de lado a e massa M , está levantado verticalmente, em equilíbrio sobre as dobradiças, quando é levado a cair por uma ligeira trepidação. Desprezando o atrito, que velocidade angular terá adquirido ao bater no chão?
9. Calcule o efeito da massa M da polia, de raio R , sobre o sistema do Cap. 4, Probl. 12 (fig.): a massa m , que desliza sem atrito, está ligada à massa suspensa m' pelo fio que passa sobre a polia. Determine (a) a aceleração a do sistema; (b) as tensões T e T' nos fios ligados a m e m' .



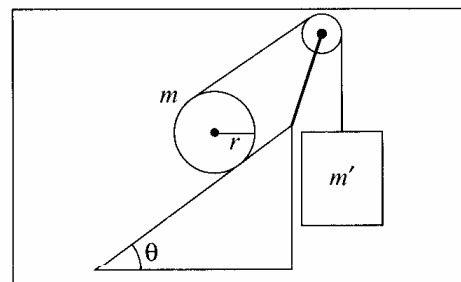
10. Um bloco de massa m , que pode deslizar com atrito desprezível sobre um plano inclinado de inclinação θ em relação à horizontal, está ligado por um fio, que passa sobre uma polia de raio R e massa M , a uma massa $m' > m$ suspensa (Fig.). O sistema é solto em repouso. Calcule, por conservação da energia, a velocidade v de m' após cair de uma altura h .



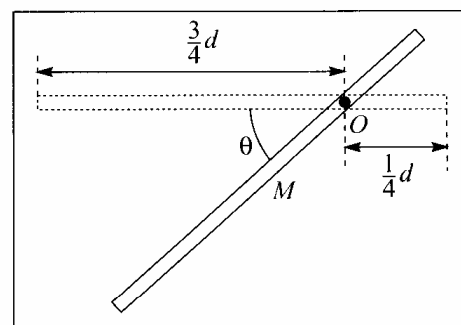
11. Prende-se ao teto a ponta de uma fita métrica leve, enrolada num estojo circular de massa m e raio r , e solta-se o estojo em repouso (Fig.). (a) Calcule a aceleração linear do estojo. (b) Calcule a tensão da fita. (c) Calcule a velocidade linear do estojo depois que um comprimento s da fita se desenrolou. Verifique a conservação da energia.



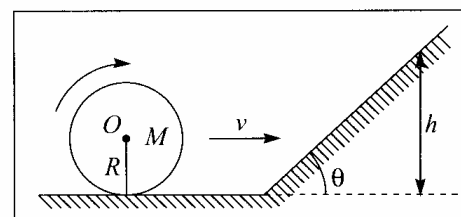
12. Uma fita leve está enrolada em volta de um disco circular de massa m e raio r , que rola sem deslizar sobre um plano inclinado áspero de inclinação θ . A fita passa por uma roldana fixa de massa desprezível e está presa a um corpo suspenso de massa m' (Fig.). Calcule (a) a aceleração a da massa m' (b) a tensão T na fita.



13. Uma haste metálica delgada, de comprimento d e massa M , pode girar livremente em torno de um eixo horizontal, que a atravessa perpendicularmente, à distância $d/4$ de uma extremidade. A haste é solta a partir do repouso, na posição horizontal. (a) Calcule o momento de inércia I da haste, com respeito ao eixo em torno do qual ela gira. (b) Calcule a velocidade angular ω adquirida pela haste após (Fig.) ter caído de um ângulo θ , bem como a aceleração angular α .

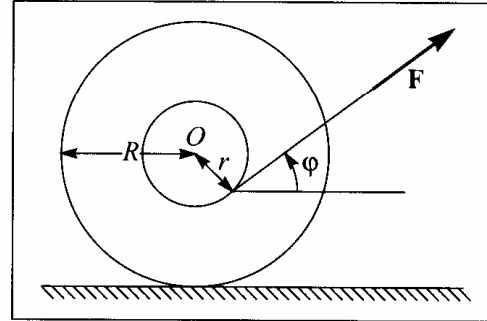


14. Uma roda cilíndrica homogênea, de raio R e massa M , rola sem deslizar sobre um plano horizontal, deslocando-se com velocidade v , e sobe sobre um plano inclinado de inclinação θ , continuando a rolar sem deslizamento (Fig.). Até que altura h o centro da roda subirá sobre o plano inclinado?



15. Uma bola homogênea de raio r rola sem deslizar desde o topo de um domo hemisférico de raio R . (a) Depois de percorrer que ângulo θ em relação à vertical a bola deixará a superfície? (b) Com que velocidade v isso acontece?

16. Um ioiô de massa M , raio interno r , raio externo R e momento de inércia I_{CM} em relação a seu centro de massa, é puxado pelo fio enrolado em seu eixo central, de forma a rolar sem deslizamento sobre uma mesa horizontal, através de uma força F que faz um ângulo φ com a horizontal (Fig.). (a) Que condição deve ser satisfeita por $F = |F|$ para que o ioiô permaneça em contato com a mesa? (b) Calcule a aceleração angular α do ioiô. (c) Mostre que existe um ângulo crítico φ_0 tal que, conforme a magnitude de φ em relação a φ_0 , o fio se desenrola ou enrola, e o ioiô avança ou recua. Que acontece para $\varphi = \varphi_0$?

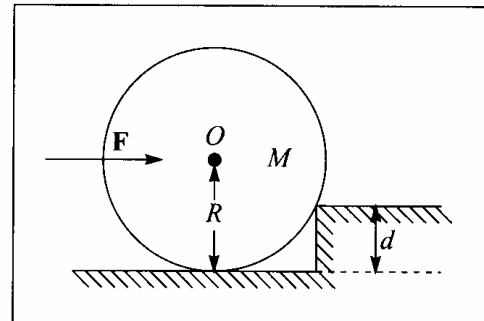


17. Uma bola de boliche esférica uniforme é lançada, com velocidade inicial v_0 horizontal e sem rotação inicial, sobre uma cancha horizontal, com coeficiente de atrito cinético μ_c . (a) Que distância d a bola percorrerá sobre a prancha até que comece a rolar sem deslizar? (b) Quanto tempo t depois do lançamento isso ocorre? (c) Qual é a velocidade v da bola nesse instante?

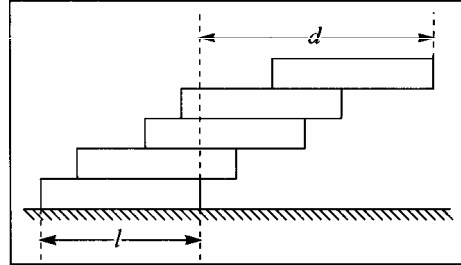
18. Um giroscópio, constituído por um disco de 5 cm de raio, colocado no centro de uma haste de 10 cm de comprimento e massa desprezível, gira em torno do seu eixo a 1.500 rpm. Ele é colocado com seu eixo horizontal e um extremo apoiado num suporte (Fig. da pg. 271) Calcule a velocidade angular de precessão Ω , em rpm.

19. Um pião cônico homogêneo de massa M tem raio da base R e altura h . (a) Calcule a posição do centro de massa do pião. (b) Com o auxílio do resultado do probl. 5, calcule a velocidade angular Ω de precessão regular do pião quando ele é colocado em rotação rápida, de velocidade angular ω em torno do seu eixo, com a ponta apoiada no chão. (c) Se o pião precessiona com seu eixo inclinado de θ em relação à vertical, qual é a força horizontal de reação F exercida sobre seu ponto de apoio? (d) Calcule Ω e $|F|$ para $M = 300$ g, $R = 4$ cm, $h = 12$ cm,

20. Calcule a magnitude da força F horizontal que é preciso aplicar, em direção ao eixo O , para conseguir que um tambor cilíndrico, de massa M e raio R , suba um degrau de altura $d < R$ (Fig.).



21. Uma escada uniforme, de comprimento l e massa M , apoiada sobre o chão, com coeficiente de atrito estático μ_e , está encostada a uma parede lisa (atrito desprezível), formando um ângulo θ com a parede. Para que domínio de valores de θ a escada não escorrega?
22. Qual é a distância d máxima que um homem de massa m pode subir ao longo da escada do Probl. 21, sem que a escada escorregue?
23. Empilham-se N blocos idênticos, de comprimento l cada um, sobre uma mesa horizontal. Qual é a distância d máxima entre as extremidades do último e do primeiro bloco (Fig.) para que a pilha não desabe? *Sugestão:* Considere as condições de equilíbrio, sucessivamente, de cima para baixo. Faça a experiência! (use blocos de madeira, livros, tijolos, dominós, ... idênticos).



$$(b) (\theta_1 = \theta'_1/2, v \cos \theta_1) \text{ e } \left(\theta_2 = \frac{\pi}{2} - \theta_1, v \sin \theta_1 \right).$$

20. F em a direção de v e sentido oposto, e $|\mathbf{F}| = 2\rho v^2 A$.

CAPÍTULO 10

1. $7,35 \times 10^{22} \text{ kg}$

2. (a) $T^2 = 3\pi/(G\rho)$; (b) 84,3 min; (c) 7,9 km/s.

4. (a) $v = \sqrt{g_p R_p}(\sqrt{2} - 1)$; (b) $v = 3,3 \text{ km/s}$.

5. $\mu \approx 1,3 \times 10^3 \text{ kg/m}^3$.

6. (a) $v_g \approx 155 \text{ km/s}$; (b) $M_g/M_s \sim 10^{11}$.

7. $v_e = c$.

8. (a) As forças apontam para o CM (\equiv centro do triângulo) e têm magnitude $\sqrt{3} Gm^2/d^2$;

(b) $\omega = \sqrt{3Gm/d^3}$.

9. (b) 50,4 anos; (c) $r_A \approx 5,8 \text{ U.A.}$; $r_B \approx 14,1 \text{ U.A.}$

10. $v_1 = m_2 \sqrt{\frac{2G}{m} \left(\frac{1}{r} - \frac{1}{r_0} \right)}$; $v_2 = m_1 \sqrt{\frac{2G}{m} \left(\frac{1}{r} - \frac{1}{r_0} \right)}$ onde $M = m_1 + m_2$.

11. $2,39 \times 10^{-4} \text{ kgf}$.

12. 84,3 min; 7,9 km/s.

13. $\frac{F(r)}{m} = \frac{4}{3} \pi \rho G \left(r - \frac{a^3}{r^3} \right) \approx -4\pi \rho G(r - a)$ para $b - a \ll a$.

14. (a) $\left[1 - \frac{(a/R)^3}{\left(1 - \frac{d}{R}\right)^2} \right]$; (b) $-\frac{4}{3} \pi \rho G \mathbf{d}$, onde $\mathbf{d} = \mathbf{OO}'$ (campo uniforme)

15. $U = -\frac{3}{5} GM^2/R$

17. Magnitude $\frac{GmMD}{(a^2 + D^2)^{3/2}}$, dirigida para o centro O do anel.

CAPÍTULO 11

2. (b): Estável: \mathbf{p} paralelo a \mathbf{E} ; instável: \mathbf{p} antiparalelo a \mathbf{E} .

3. $\mathbf{l} = \mu \mathbf{r} \times \mathbf{v}$

4. (a) $||\mathbf{l}|| = 420 \text{ kg m}^2/\text{s}$; \mathbf{l} é perpendicular ao plano da pista; (b) $\omega = 7,1 \text{ rad/s}$.

5. (a) $r_1 = 0,53 \times 10^{-10} \text{ m}$; $r_n = n^2 r_1$; (b) $E_1 = 13,6 \text{ eV}$; $E_n = E_1/n^2$; (c) $v_1/c = 7,3 \times 10^{-3} \approx 1/137$.

7. (a) $r_0 = l^2/(GMm^2)$; $mv^2/r_0 = GMm/r_0^2$; $E_0 = -GMm/(2r_0)$;

- (b) $E = -GMm/(2a)$; (c) $v^2 = GM\left(\frac{2}{r} - \frac{1}{a}\right)$; (d) $e = \sqrt{1 + \frac{l^2}{2ma^2E}}$.
8. (a) $l = 2mA/T$; (c) 88 dias.
9. (a) $V_{ef}(r) = \frac{ZZ'e^2}{r} + \frac{mv_0^2 b^2}{2r^2}$;
- (b) $r_0 = \frac{ZZ'e^2}{mv_0^2} \times \left\{ 1 + \left[1 + \left(\frac{mv_0^2 b}{ZZ'e^2} \right)^2 \right]^{1/2} \right\}$
10. (a) $V_{ef}(r) = \frac{mv_0^2}{2r^2} \left(b^2 + \frac{A^2}{v_0^2} \right)$; (b) $r_0 = \sqrt{b^2 + \frac{A^2}{v_0^2}}$
11. Interno $|L'| = Iv/a$, dirigido para o centro da pista; orbital: módulo MvR , dirigido verticalmente para cima; total: $|L| = v\sqrt{M^2 R^2 + (I/a)^2}$, descreve um cone de eixo vertical e ângulo de abertura θ , com $\tan\theta = I/(MRa)$.
12. (a) 0,6 m; (b) aumentou por um fator 1,4.
13. $v_r = 0$, $v_\theta = 2v_0$.
14. (a) 2,16 rad/s; (b) 1,04 J.
15. o centro do quadrado (CM) desloca-se com velocidade constante $\mathbf{P}/(4m)$ e o conjunto gira em torno do centro com velocidade angular $\omega = |\mathbf{P}|/(2\sqrt{2}ml)$.
16. O CM após a colisão, situado sobre o haltere, a 10 cm do disco 2, move-se com velocidade de 1 m/s na direção de \mathbf{v}_0 , e o haltere gira em torno dele com velocidade angular $\omega = 5$ rad/s.

CAPÍTULO 12

2. (a) $\frac{1}{2}M(a^2 + b^2)$; (b) $\frac{1}{4}MR^2$
3. (a) $\frac{1}{2}M(r_1^2 + r_2^2)$; (b) $\frac{1}{4}M(r_1^2 + r_2^2)$
4. $\frac{1}{6}Ma^2$
5. $\frac{3}{10}MR^2$
6. 2,2 s.
7. (a) $\omega \approx 2mv/(MR)$; (b) $1 - (2m/M)$.
8. $\omega = \sqrt{3g/b}$

$$9. \quad (a) a = m'g / \left(m + m' + \frac{M}{2} \right);$$

$$(b) \quad T = \frac{mm'g}{m' + m + \frac{M}{2}}; \quad T = \left(m + \frac{M}{2} \right) m'g / \left(m + m' + \frac{M}{2} \right)$$

$$10. \quad v^2 = 2gh(m' - m \sin \theta) / \left(m + m' + \frac{M}{2} \right)$$

$$11. \quad (a) = \frac{2}{3}g; \quad (b) T = \frac{1}{3}mg; \quad (c) v^2 = 2as$$

$$12. \quad a = g \left(m' - \frac{m}{2} \sin \theta \right) / \left(m' + \frac{3}{8}m \right);$$

$$(b) T = mm'g \left(\frac{3}{4} + \sin \theta \right) / \left(2m' + \frac{3}{4}m \right)$$

$$13. \quad (a) I = \frac{7}{48}md^2; \quad (b) \omega = \sqrt{\frac{24}{7} \frac{g}{d} \sin \theta}; \quad \alpha = \frac{12}{7} \frac{g}{d} \cos \theta$$

$$14. \quad h = R + \frac{3}{4} \frac{v^2}{g}$$

$$15. \quad (a) \theta = \cos^{-1} \left(\frac{10}{17} \right) \approx 54^\circ; \quad (b) v^2 = \frac{10}{17}g(R+r)$$

$$16. \quad (a) F < \frac{mg}{\sin \varphi}; \quad (b) \alpha = \frac{F(r - R \cos \varphi)}{I_{CM} + MR^2}; \quad (c) \cos \varphi = r/R$$

Para $\varphi < \varphi_0$, o fio se desenrola (o ioiô avança); para $\varphi > \varphi_0$, o fio se desenrola (o ioiô recua); para $\varphi = \varphi_0$, o ioiô permanece em equilíbrio.

$$17. \quad (a) d = \frac{12}{49} \frac{v_0^2}{\mu_c g}; \quad (b) t = \frac{2}{7} \frac{v_0}{\mu_c g}; \quad (c) v = \frac{5v_0}{7}$$

$$18. \quad \Omega = 23,8 \text{ rpm}$$

$$19. \quad (a) \text{ Sobre o eixo, a } \frac{3}{4}h \text{ do vértice; } (b) \Omega = \frac{5}{2}gh / (\omega R^2);$$

$$(c) |F| = \frac{3}{4}M\Omega^2 h \sin \theta, \text{ centrípeta com respeito ao círculo descrito pelo CM;}$$

$$(d) \Omega = 6,1 \text{ rad/s; } |F| = 0,51 \text{ N}$$

$$20. \quad F = Mg \sqrt{d(2R-d)} / (R-d)$$

$$21. \quad \tan \theta \leq 2\mu_e$$